

\*

( / / ) / / ( )

RWG

"RWG

پارامترهایی نظیر امپدانس متقابل، ضریب انعکاس و پارامترهای پراکنده‌گی [S] استفاده می‌شود. در این مقاله یک روش جدید با استفاده از مدل دایپل برای المان‌های لبه RWG<sup>۱</sup>، برای محاسبه امپدانس متقابل ارائه شده است.

- اثرات تزویج عبارتند از:
- افزایش SLI<sup>۲</sup>: سطح گلبرگ کناری افزایش می‌یابد.
  - گردش ناخواسته پرتو اصلی: جهت ماکریمم پرتو اصلی تغییر می‌کند. معمولاً این تغییر بستگی به محور آرایه دارد.
  - می‌نیمم‌های افزایش یافته یا جابجا شده؛ باید احتیاط کرد که مینیمم‌ها از حد نصاب مورد نیاز مسئله بالاتر نیایند.
  - گلبرگ‌های اضافی<sup>۳</sup>: این گلبرگ‌ها در اثر افزایش فاصله بین المان‌های آرایه پدید می‌آیند و سطحی برابر گلبرگ اصلی (جهت اصلی) دارند. لیکن اگر فاصله از نصف طول موج بیشتر نشود، معمولاً این گلبرگ‌ها ایجاد نمی‌شوند.
  - عدم تطبیق امپدانسی: به دلیل وجود القاء

تزویج یا القاء متقابل اثر الکترومغناطیسی است که هر جزء جریان روی جسم دیگر می‌گذارد. به عنوان مثال اگر یک سیم حامل جریانی هر چند اندک باشد، میدان‌های الکتریکی و مغناطیسی دور خود ایجاد می‌کند و روی هر جسم هادی که در نزدیکی آن باشد اثر می‌گذارد. این اثر به شکل بار القائی ساکن یا جریان الکتریکی القاء شده قابل اندازه گیری و نمایش است. طبیعی است که جریان القائی نیز به نوبه خود روی سیم اولیه اثر القائی دارد. البته این اثرات تا بی نهایت ادامه دارند لیکن در طراحی و مهندسی تنها اثرات مرتبت‌های نخستین که قابل ملاحظه تر هستند، در نظر گرفته می‌شود. در مسائل عادی این اثر آنقدر کم است که نیازی به محاسبه اثر جریان القائی روی سیم اولیه نیست. ولی این بدان معنا نیست که اثر اولیه نیز قابل صرف‌نظر کردن است. در آرایه‌های آنتن این پدیده به شدت تاثیر گذار است و سبب تغییر مشخصات آرایه می‌شود. تزویج متقابل بر پلاریزاسیون تداخلی بین سیگنال‌های دریافتی تاثیر می‌گذارد. این اثر به ویژه وقتی که فاصله بین المان‌ها کم می‌شود محسوس تر است. برای محاسبه یا اندازه گیری کوپلینگ متقابل بین المان‌های آرایه، معمولاً از

محاسبه DOA با رزویشن بسیار بالا، می تواند به رغم حضور تزویج متقابل بازیابی شود. تئوری موجک و کاربرد آن در روش ممان، روش نوینی را در حل مسائل تزویج متقابل ارائه نموده‌است. در این روش میدان‌های مجھول به صورت یک مجموع دوگانه از فرم‌های شیفت یافته و منبسط شده یک تابع پایه که موجک مادر نامیده می‌شود، بیان می‌گردد. پایه موجک می‌تواند با توزیع توابع محلی نزدیک ناپیوستگی‌ها به طور مناسب با انواع مقیاس‌های طولی متناظر با scatterer منطبق شود. در بخش اول این مقاله حل ممان معاله انتگرالی میدان الکتریکی مبتنی بر المان‌های لبه RWG برای تحلیل آنتن پچ میکرواستریپ مستطیلی، بیان و توزیع جریان سطحی روی سطح آنتن محاسبه می‌گردد. سپس با تقریب مدل دایپل بی نهایت کوچک برای المان‌های لبه، میدان الکتریکی تشعشعی پچ در هر نقطه از فضا محاسبه می‌شود. بخش دوم این مقاله به ارائه یک روش محاسبه پترن که در اینجا روش "پترن المان فعل مبتنی بر المان‌های لبه RWG" نامیده می‌شود و نیز نحوه محاسبه امپدانس متقابل بین المان‌های یک آرایه با در نظر گرفتن اثر تزویج متقابل و استخراج معادلات مربوط اختصاص داده شده است. در بخش سوم نتایج شبیه سازی (تلف برگشتی، امپدانس ورودی، نمودار تشعشعی) اعمال روش فوق به یک آرایه آنتن مسطح ۲×۲ با استفاده از نرم افزار MATLAB و برای عملکرد در باند فرکانسی X نشان داده می‌شود. به منظور اطمینان از صحت روش ارائه شده، نتایج حاصل با نتایج شبیه سازی توسط نرم افزار FEKO مقایسه شده اند. همچنین به منظور تائید نتایج شبیه سازی، نتایج ساخت یک نمونه ساخته و تست شده آرایه فوق در بخش چهارم ارائه می‌گردد. مقایسه نتایج ساخت و شبیه سازی نشان می‌دهد که روش ارائه شده در این مقاله برای محاسبه اثر تزویج متقابل از دقت مناسبی برخوردار است.

## RWG

در این روش ابتدا سطح آنتن مورد نظر مطابق شکل(۱) به تعداد زیادی مثلث دلخواه تقسیم می‌شود. هر زوج مثلث دارای یک لبه مشترک تشکیل یک المان لبه RWG می‌دهند[۶]. در شکل (۲) سه المان لبه که

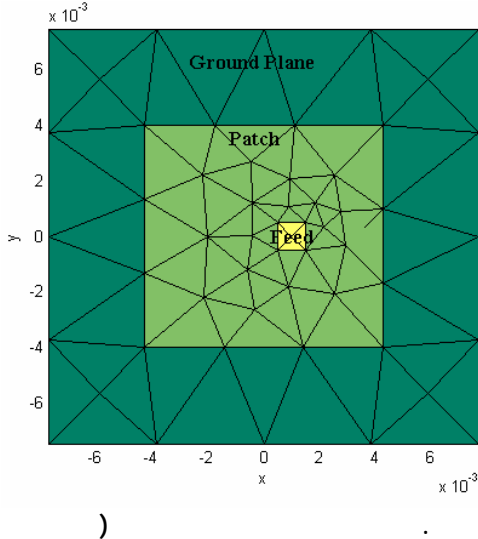
متقابل بین المان‌های آرایه، نه تنها دامنه جریان موجود روی هر المان تغییر می‌کند، بلکه شکل موج جریان نیز دستخوش تغییراتی می‌شود. این تغییرات موجب تغییر امپدانس ورودی دیده شده از سر هر المان از مقدار امپدانس تطبیق می‌گردد.

- (Scan Blindness) : در آرایه‌های فازی که به منظور گردش پرتو و اسکن کردن فضا ساخته شده‌اند ممکن است کوپلینگ باعث کور شدن برخی زوایا شود. یعنی پترن آرایه، با هر فاز دهی دلخواهی به المان‌ها، در آن زاویه دارای می‌نیم است که به اصطلاح به آن نقطه کور می‌گویند. در حقیقت تزویج متقابل سبب می‌شود امپدانس ورودی آرایه حین Scan تغییر کند و ضریب انعکاس تغذیه افزایش یابد. بدین ترتیب آرایه سیگنال را بطور کامل به درون شبکه تغذیه برگشت می‌دهد و درنتیجه سبب Scan Blindness می‌شود.

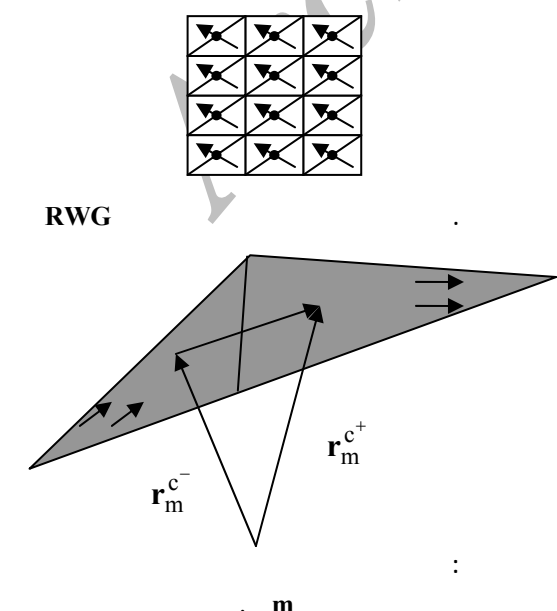
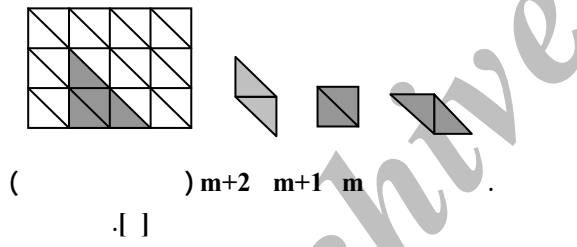
روش‌های مختلفی برای محاسبه اثر تزویج متقابل بر پارامترها و مشخصات تشعشعی آرایه‌های آنتن ارائه شده است که از میان آن‌ها می‌توان به مدل تحریک آزاد، روش پترن المان ایزوله و روش پترن المان فعل در [۲] ارائه نمود[۱]. انواع مختلف روش پترن المان فعل در [۳] ارائه شده است. اثر تزویج متقابل برای یک آرایه محدود از پچ‌های مستطیلی شکاف دار کوپل شده در [۴] محاسبه شده است. اساس تحلیل در این بررسی استفاده از اصل هم ارزی و قضیه هم پاسخی است. در این روش شکاف‌های کوپل شده با چگالی‌های جریان مغناطیسی معادل جایگزین می‌گردد. به منظور اجتناب از مدل‌سازی تزویج جریان غیر یکنواخت روی خطوط تغذیه، ضرائب انعکاس ولتاژ روی خطوط تغذیه با استفاده از قضیه هم پاسخی، برای بیان ناپیوستگی شکاف‌ها به خطوط تغذیه محاسبه می‌شوند. معادلات انتگرالی برای چگالی جریان‌های سطحی مجھول روی پچ‌ها و با اعمال شرایط مرزی بدست می‌آیند و با استفاده از روش ممان حوزه طیف حل می‌شوند. یک الگوریتم اتو کالیبراسیون برای جبران تزویج متقابل در آرایه‌های خطی و یکنواخت در [۴] ارائه شده است. این الگوریتم بطور همزمان ماتریس مجھول تزویج متقابل و (DOA)Direction of Arrival های سیگنال‌های ورودی را محاسبه می‌کند. نتایج شبیه سازی ثابت می‌کند که خواص استاتیکی خوب الگوریتم‌های کلاسیک

$$E(\mathbf{r}) = \sum_{m=1}^M E_m \left( \mathbf{r} - \frac{1}{2} (\mathbf{r}_m^{c^+} - \mathbf{r}_m^{c^-}) \right) \quad (3)$$

جاییکه  $r_m^{c^+}$  و  $r_m^{c^-}$  به ترتیب فاصله مراکز مثلث های تشکیل دهنده المان لبه تا مبدا مختصات می باشند.



MATLAB Antenna toolbox, Sergey N.  
Makarov and Leo C. Kampel , update Feb. 2006  
. .



در یک مثلث مشترکنده، نشان داده شده است. برای یک ساختار معین تعداد المان های لبه از تعداد مثلث ها بیشتر است [۷]. با استفاده از یک مجموعه از توابع پایه خاص از نوع subdomain روی هر زوج مثلث مجاور (المان لبه) و حل معادله انتگرالی میدان الکتریکی [۲] معادله مومنت زیر حاصل می شود:

$$\mathbf{ZI} = \mathbf{V} \quad (1)$$

جاییکه  $\mathbf{Z} = [Z_{mn}]$  یک ماتریس  $N \times N$  است و  $\mathbf{V} = [V_m]$  و  $\mathbf{I} = [I_n]$  به ترتیب بردارهای ستونی با طول  $N$  هستند. با حل معادله فوق می توان چگالی جریان سطحی آتن را محاسبه نمود. به محض اینکه جریان های سطحی روی آتن مشخص شدند، میدان الکتریکی تشعشع شده در فضای آزاد را می توان با استفاده از روش های مختلفی محاسبه نمود. امپدانس متقابل بین دو آتن را می توان با استفاده از مدل دایپل [۸] برای المان های لبه RWG محاسبه نمود. در مدل دایپل توزیع جریان سطحی برای هر المان لبه RWG شامل دو مثلث، مطابق شکل (۳) با یک دایپل بی نهایت کوچک جایگزین می شود [۷]. عبارت میدان تشعشع شده توسط این دایپل های کوچک به طور تحلیلی در [۹] محاسبه شده است. میدان تشعشعی کل با استفاده از مجموع سهم این دایپل های کوچک حاصل می شود برای پیدا کردن گشتاور دایپل دایپل معادل، شکل (۴) را در نظر بگیرید. گشتاور دایپل  $m$  که حاصل ضرب جریان موثر دایپل در طول موثر دایپل است [۱۰] ، با انتگرال گیری از جریان سطحی متناظر با المان  $m$  روی سطح المان بدست می آید:

$$\mathbf{m} = \int_{T_m^+ + T_m^-} I_m f_m(\mathbf{r}_m) ds = \int_{T_m^+ + T_m^-} I_m f_m(\mathbf{r}) ds = I_m I_m \quad (2)$$

در اینجا  $f_m(\mathbf{r})$  تابع پایه RWG متناظر با المان  $m$  و طول موثر دایپل است. ضرایب جریان سطحی  $I_m$  از حل رابطه (۱) معلوم می شوند. نحوه محاسبه انتگرال رابطه (۲) در [۲] ارائه شده است. محدودیت عملی مدل دایپل اندازه المان لبه RWG است. اگر فاصله مشاهده هم از طول دایپل (طول المان لبه) باشد، در این صورت مدل دایپل از دقت کافی برخوردار نیست. میدان الکتریکی کل در نقطه  $r$  با گرفتن مجموع روی تمام المان های لبه بدست می آید:

(رابطه(۱)) حاصل می شود. لذا تزویج متقابل بین دو پج را می توان جمع آثار تزویج متقابل بین تک تک دایپل های پج ۱ با تک تک دایپل های پج ۲ دانست. همانطور که پیشتر ذکر گردید، پtern المان فعال جمع آثار مساله تشعشع و مساله پراکندگی است. از این رو به کمک رابطه (۳) می توان ptern المان فعال را در هر نقطه از فضا محاسبه نمود:

$$\begin{aligned} \mathbf{E}_p^a(\mathbf{r}) &= \mathbf{E}_p^r(\mathbf{r}_p) + \sum_{\substack{j=1 \\ j \neq p}}^N \mathbf{E}_j^s(\mathbf{r}_j) = \\ &\sum_{m=1}^M \mathbf{E}_{pm}(\mathbf{r}_p - \frac{1}{2}(\mathbf{r}_{pm}^{c^+} - \mathbf{r}_{pm}^{c^-})) + \\ &\sum_{\substack{j=1 \\ j \neq p}}^N \sum_{m=1}^M \mathbf{E}_{jm}(\mathbf{r}_j - \frac{1}{2}(\mathbf{r}_{jm}^{c^+} - \mathbf{r}_{jm}^{c^-})) \end{aligned} \quad (4)$$

$j = 1, 2, 3, \dots, N$  مشخص کننده تعداد المان های آرایه و  $m = 1, 2, 3, \dots, M$  مشخص کننده تعداد دایپل ها(mان های لبه هر پج) می باشد.  $\mathbf{E}_p^r(\mathbf{r}_p)$  میدان تشعشع شده توسط المان  $p$  آرایه است که توسط یک منبع ولتاژ تحریک می شود و  $\mathbf{E}_j^s(\mathbf{r}_j)$  میدان تشعشع شده توسط المان  $j$  آرایه است که به وسیله یک موج ورودی به آن تحریک می شود. ptern کل آرایه از جمع آثار ptern المان فعال تمام عناصر آرایه بدست می آید و با رابطه زیر بیان می شود:

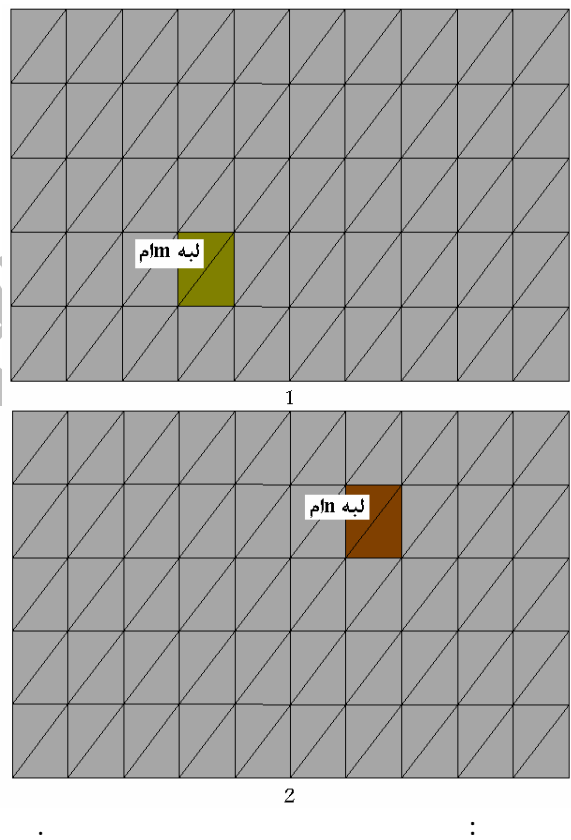
$$\begin{aligned} \mathbf{E}^t(\mathbf{r}) &= \sum_{j=1}^N \mathbf{E}_j^a = \\ &\sum_{j=1}^N \sum_{m=1}^M \mathbf{E}_{jm}(\mathbf{r}_j - \frac{1}{2}(\mathbf{r}_{jm}^{c^+} + \mathbf{r}_{jm}^{c^-})) + \\ &(N-I) \sum_{j=1}^N \sum_{m=1}^M \mathbf{E}_{jm}(\mathbf{r}_j - \frac{1}{2}(\mathbf{r}_{jm}^{c^+} + \mathbf{r}_{jm}^{c^-})) \end{aligned} \quad (5)$$

در رابطه فوق فرض شده که تمام عناصر آرایه با ولتاژ های هم دامنه و هم فاز تحریک می شوند.

همانطور که پیشتر بیان گردید، آتن ها وقتی در یک محیط آرایه قرار می گیرند به دلیل آنکه بخشی از توان تشعشع شده توسط المان های مجاور را دریافت می کنند به یکدیگر کوپل می شوند. این مساله موجب

## RWG

در روش ptern المان فعال، ptern آرایه با تحریک تنها المان  $i$  آرایه، به گونه ای که همه المان های دیگر به امپدانس بار  $Z_L$  ختم شده باشند، محاسبه می شود. ptern المان فعال ناشی از تشعشع مستقیم المان  $i$  (مساله تشعشع) و میدان های تشعشع شده از دیگر المان ها(مساله پراکندگی) است، که توان خود را از طریق کوپلینگ فضایی المان  $i$  بدست می آورند.



ptern کل آرایه از جمع آثار روی تمام عناصر آرایه حاصل می شود. در این صورت همه اثرات تزویج در ptern المان فعال که به هندسه آرایه و مشخصات المان بستگی دارد، در نظر گرفته می شود. شکل(۵) دو پج مستطیلی مش بندی شده را که با فاصله کمتر از نصف طول موج از یکدیگر واقع شده اند نشان فرض می شود که پج ۱ با ولتاژ متناظر تحریک شده و پج ۲ به بار مناسب ختم شده است. طبق مدل دایپل ارائه شده در بخش ۱ می توان هر المان لبه را به صورت یک دایپل بسیار کوچک در نظر گرفت. توزیع جریان برای این دایپل ثابت فرض می شود. جریان این دایپل های بسیار کوچک از حل معادله ممان

$$Z_{21} = \sum_{m=1}^M \sum_{n=1}^N Z_{mn} = \\ - \frac{I}{I_n I_m} \int_{-l/2}^{l/2} \sum_{m=1}^M \sum_{n=1}^N E_{mn} \left( \mathbf{r} - \frac{I}{2} (\mathbf{r}_m^{c+} + \mathbf{r}_m^{c-}) \right) I_n dr$$

(8)

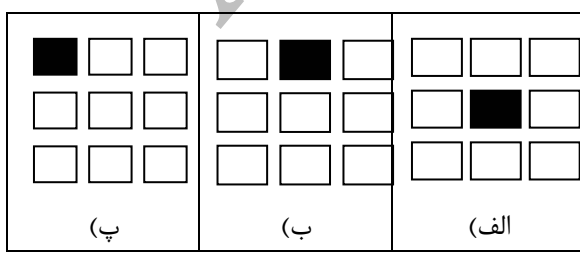
جاییکه  $E_{nm}(\mathbf{r})$  مولفه میدان الکتریکی تشعشع شده توسط دایپل بی نهایت کوچک  $m$  در محل دایپل بسیار کوچک  $n$  است و با رابطه (4) داده شده است. ضرائب  $I_n$ ، توزیع جریان در امتداد دایپل ۲، از حل ممان معادله (1) بدست می آیند. امپدانس متقابل بین المان لبه  $m$  آتنن ۱ و المان لبه  $n$  آتنن ۲، به صورت زیر بیان می شود:

$$Z_{21} = \sum_{m=1}^M \sum_{n=1}^N Z_{mn} = \\ - \frac{|\mathbf{r}_m^{c+} - \mathbf{r}_m^{c-}|}{I_m} \sum_{m=1}^M \sum_{n=1}^N E \left( \mathbf{r} - \frac{I}{2} (\mathbf{r}_m^{c+} + \mathbf{r}_m^{c-}) \right)$$

(9)

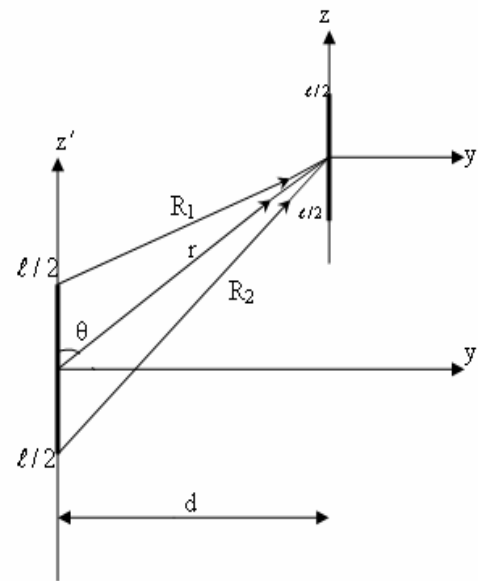
جاییکه  $\mathbf{r}_m^{c+}$  و  $\mathbf{r}_m^{c-}$  به ترتیب فاصله مرکز ثقل مثلث های تشکیل دهنده المان لبه  $m$  مبدأ مختصات می باشند. برای محاسبه امپدانس ورودی دیده شده توسط هر المان باید اثر امپدانس متقابل بین آن المان با تمام المان های دیگر را در نظر گرفت.

از آنجاییکه اثر المان های دورتر ضعیف است، لذا می توان با تقریب مناسبی تنها اثر المان های مجاور را در امپدانس متقابل در نظر گرفت. سه وضعیت مختلف تزویج مطابق شکل (7) برای المان های آرایه اتفاق [ ] . با در نظر گرفتن فرض های فوق و به کمک رابطه (9) امپدانس ورودی هر المان آرایه با روابط مداری ساده قابل محاسبه است. امپدانس ورودی کل آرایه اتصال موازی امپدانس دیده شده از سر هر المان است.



در این بخش ابتدا در زیر بخش اول یک آرایه

می شود امپدانس ورودی دیده شده توسط هر المان به دلیل اثر تزویج متقابل تغییر کند. با انتخاب المان های با پهنهای پرتو باریک تر می توان اثرات تزویج متقابل را کاهش داد. تزویج متقابل می تواند با ماتریس های امپدانس، ادمیتانس یا پراکندگی بیان شود [5]. در این بخش نحوه محاسبه امپدانس متقابل با در نظر گرفتن اثر کوپلینگ توضیح داده شده است. شکل (6) دو دایپل بسیار کوچک را در حالت کوپلینگ نشان می دهد.



ولتاژ مدار باز القاء شده در ترمینال های المان لبه  $m$  آتنن ۲ ناشی از تشعشع المان لبه  $n$  آتنن ۱ با رابطه زیر داده می شود [8] :

$$V_{mn} = - \frac{I}{I_m} \int_{-l/2}^{l/2} E_{mn}(\mathbf{r}) I_m dr$$

(6)

جاییکه  $E_{mn}(\mathbf{r})$  با رابطه (4) داده شده است. ضرائب  $I_n$  از حل رابطه (1) بدست می آیند. عبارت امپدانس متقابل بین دو المان لبه  $m$  و  $n$  به صورت زیر بیان می شود:

$$Z_{mn} = \frac{V_{mn}}{I_n} - \frac{I}{I_n I_m} \int_{-l/2}^{l/2} E \left( \mathbf{r} - \frac{I}{2} (\mathbf{r}_m^{c+} + \mathbf{r}_m^{c-}) \right) I_m dr$$

(7)

طبق قضیه جمع آثار، امپدانس متقابل بین دو آتنن ۱ و ۲ را می توان به صورت یک مجموع دوگانه از امپدانس های متقابل بین دایپل های بسیار کوچک بیان نمود:

### • تلف برگشتی

در شکل(۸) نمودارهای تلف برگشتی برحسب فرکانس، که از شبیه سازی توسط نرم افزارهای FEKO و MATLAB برای آرایه موردنظر بدون درنظر گرفتن اثر تزویج بدست آمده اند، نشان داده شده است. ملاحظه می شود که مینیمم مقدار تلف برگشتی به ازای فرکانس روزونانس رخ می دهد. این مقادیر به ترتیب برای نمودارهای بدست آمده از شبیه سازی MATLAB و FEKO برابر  $-12dB$  و  $-14dB$  است. ملاحظه می شود که صرف نظر از اندکی جابجایی فرکانس، نتیجه حاصل از شبیه سازی MATLAB مبتنی بر روش مذکور، تقریباً با نتیجه بدست آمده توسط نرم افزار FEKO یکسان است.

### • امپدانس ورودی

امپدانس ورودی این آرایه بدون در نظر گرفتن اثر تزویج در شکل(۹) نشان داده شده است.

شکل(۹-الف) امپدانس ورودی بدست آمده از شبیه سازی به کمک نرم افزار MATLAB را نشان می دهد. ملاحظه می شود که به قیمت جابجایی فرکانسی ناشی از قرار گرفتن المان ها در محیط آرایه محدود، آرایه فوق همچنان برای کار در باند فرکانسی X مناسب است و تطبیق امپدانس به خوبی انجام شده است. در شکل (۹-ب) نتیجه حاصل از شبیه سازی به کمک نرم افزار FEKO نشان داده شده است. در این شکل، روزونانس آرایه در فرکانس  $10.13GHz$  رخ می دهد.

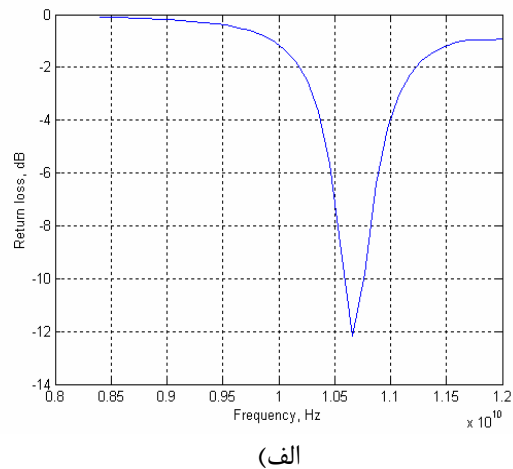
مقاومت ورودی در فرکانس روزونانس برابر  $80\Omega$  است. با توجه به مقدار فوق برای مقاومت ورودی، مقدار VSWR جهت تطبیق با امپدانس مشخصه  $50\Omega$  همچنان در محدوده قابل قبول کمتر از ۲ قرار دارد.

مقایسه نتایج فوق با نتایج حاصل از شبیه سازی توسط نرم افزار MATLAB، این حقیقت را بیان می دارد که اگرچه در نرم افزار FEKO جابجایی فرکانس روزونانس کمتر است، لیکن با استفاده از شبیه سازی به کمک نرم افزار MATLAB مبتنی بر روش مذکور، تطبیق امپدانس بهتری حاصل شده است.

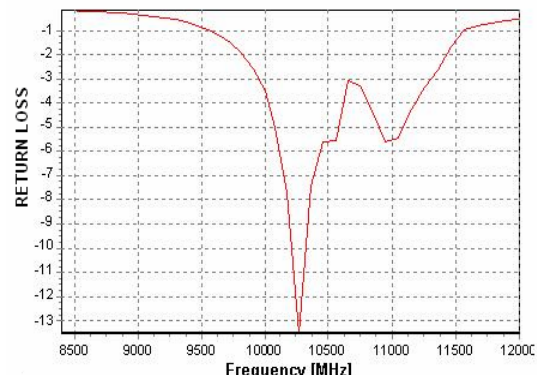
در حقیقت بدون در نظر گرفتن اثر تزویج امپدانس ورودی کاهش می یابد. کاهش امپدانس ورودی نیز به نوبه خود سبب کاهش تلف برگشتی می شود.

مسطح  $2^{\star}2$  شامل پچ های مستطیلی با استفاده از روش فوق و به کمک نرم افزار MATLAB بدون در نظر گرفتن اثر تزویج شبیه سازی گردیده و پترن تشعشعی بدست آمده است. علاوه بر شبیه سازی توسط نرم افزار MATLAB به منظور مقایسه نتایج، آرایه فوق با استفاده از نرم افزار FEKO شبیه سازی شده است. این نتایج در زیر بخش دوم برای حالتی که در آن اثرات تزویج نیز در نظر گرفته شده استخراج شده اند. در زیر بخش سوم یک نمونه ساخته شده از آرایه فوق به صورت عملی تست شده و نتایج آن ارائه گردیده است.

در این بخش نتایج شبیه سازی بدون در نظر گرفتن اثر تزویج برای یک آرایه  $2 \times 2$  شامل پچ های مستطیلی ارائه می شود. فرکانس کار برای آرایه فوق  $10GHz$  انتخاب شده است.

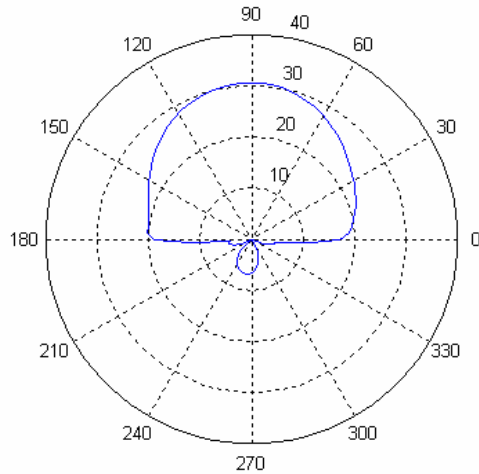


(الف)

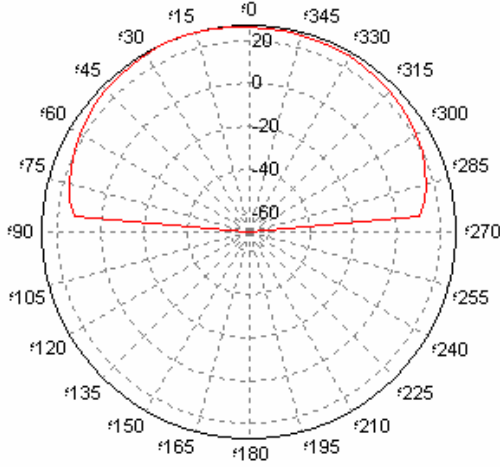


(ب)

X :  
MATLAB ( )  
. FEK



(الف)



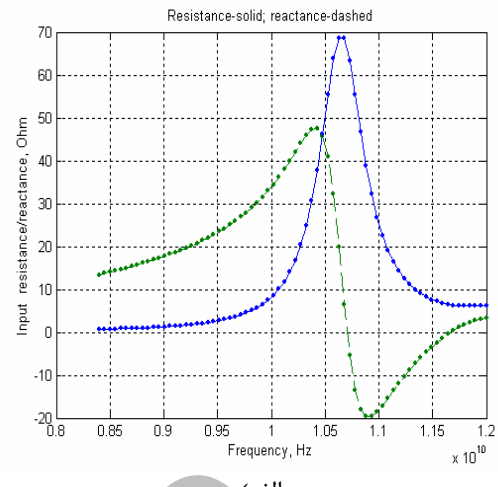
(ب)

MATLAB ( )  
. FEKO ( )

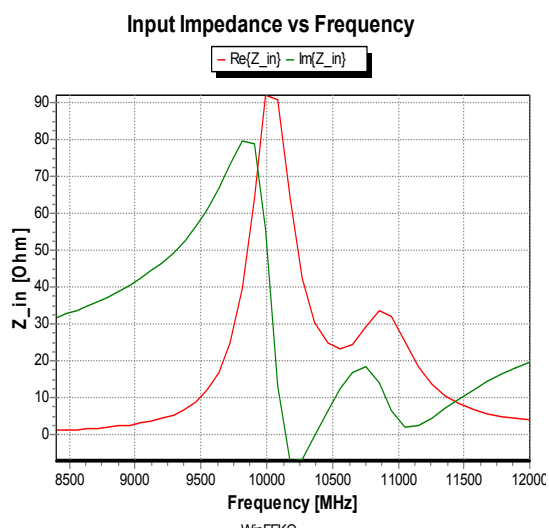
در این زیر بخش نتایج شبیه سازی آرایه مسطح  $2 \times 2$  شامل پچ های مستطیلی با در نظر گرفتن اثر تزوج مقابله براساس مدل دایپل برای المان های لبه RWG ارائه شده است. از آنچائیکه روش استفاده شده در نرم افزار FEKO برای کاربر قابل تغییر نیست، لذا برای بررسی اثر تزوج با استفاده از این نرم افزار فاصله بین المان ها به اندازه کافی (بطوریکه اثر فاصله در محاسبه تزوج غالب نباشد) کاهش داده شده است.

#### • تلف برگشتی

شکل (11) نمودار تلف برگشتی بر حسب فرکانس، در حالتی که اثر تزوج در محاسبات در نظر گرفته شده



(الف)



(ب)

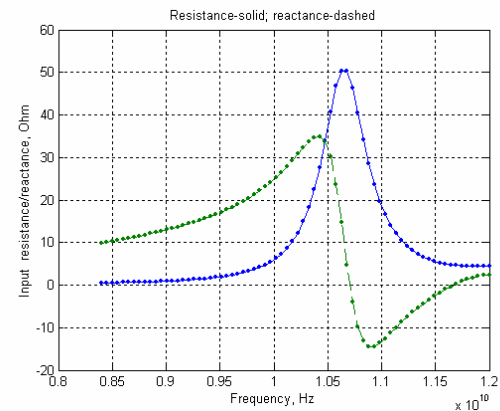
MATLAB ( )  
. FEKO ( )

#### • پترن تشعشعی

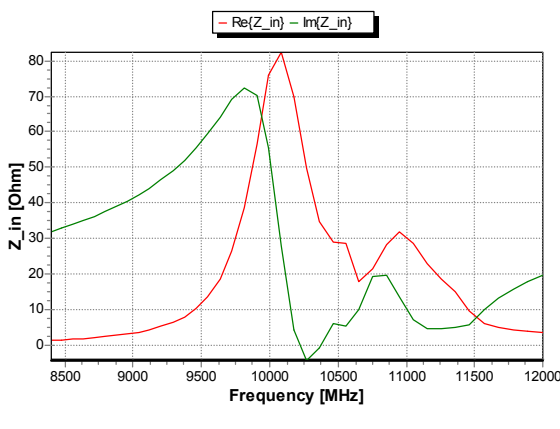
در شکل (10-الف) نمودار سمت گرایی برای آتن مذکور با استفاده از نرم افزار MATLAB و برای نمایش بهتر با offset 20dB معادل 11dB ترسیم شده است. ماکسیمم مقدار سمت گرایی برای آرایه فوق 11dB است. شکل (10-ب) نتیجه حاصل از شبیه سازی FEKO را نشان می دهد. ملاحظه می گردد که ماکسیمم سمت گرایی نیز در این حالت برابر 11dB است.

لذا می توان نتیجه گرفت که نتایج حاصل از شبیه سازی به کمک نرم افزارهای MATLAB و FEKO بسیار قابل مقایسه می باشند.

می شود.



(الف)



(ب)

X  
(  
FEKO

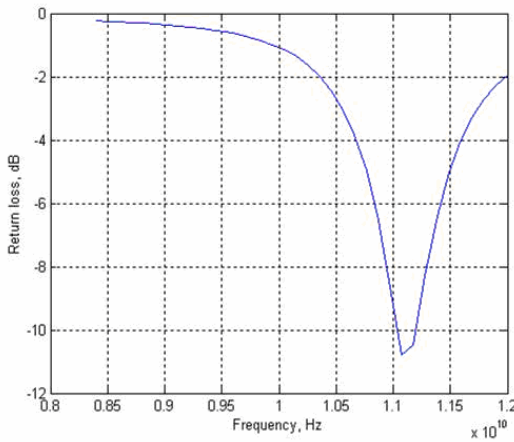
MATLAB

#### • پترن تشعشعی

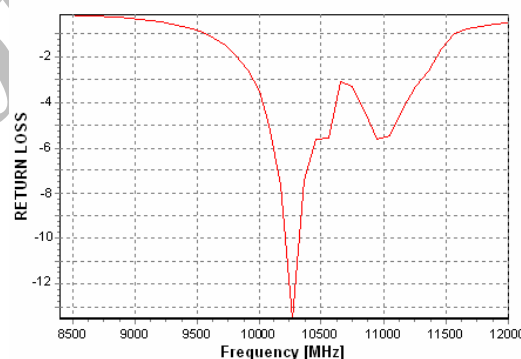
نمودار تشعشعی بدست آمده از شبیه سازی توسط نرم افزارهای FEKO و MATLAB در شکل(۱۳) نشان داده شده است. با مقایسه این نمودار با نمودار بدست آمده بدون در نظر گرفتن اثر تزویج، ملاحظه می شود که تزویج متقابل سبب افزایش سطح گلبرگ کناری و ایجاد گلبرگ های ناخواسته می گردد.

به منظور تعیین میران اعتبار نتایج شبیه سازی، در این بخش نتایج اندازه گیری مشخصات یک آرایه آنتن ۲×۲ نمونه شامل پچ های مستطیلی برای عملکرد در باند فرکانسی X ارائه می شود. ابعاد هر پچ مطابق با مقادیر بدست آمده در فصل دوم است. شکل (۱۴) پیکربندی

است، را نشان می دهد. در این نمودار که از شبیه سازی MATLAB بدست آمده مینیمم تلف برگشتی در فرکانس رزونانس رخ می دهد و مقدار آن برابر ۱۱dB-است. از مقایسه شکل های (۸) و (۱۱) روشن می شود که اثر تزویج سبب افزایش تلف برگشتی (تغییر شرایط تطبیق امپدانس) شده است.



(الف)



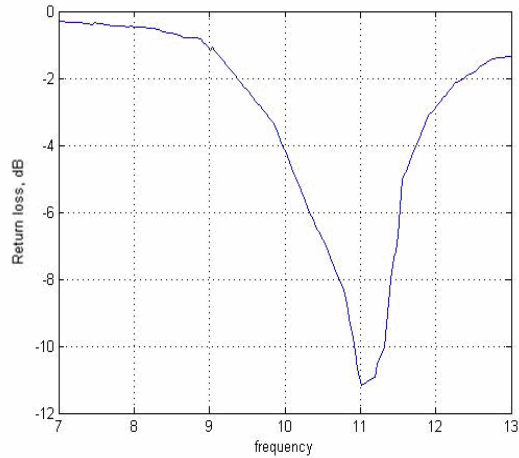
(ب)

X  
(  
FEKO

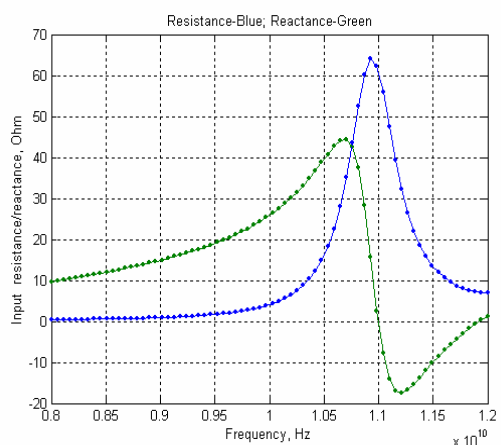
MATLAB

#### • امپدانس ورودی

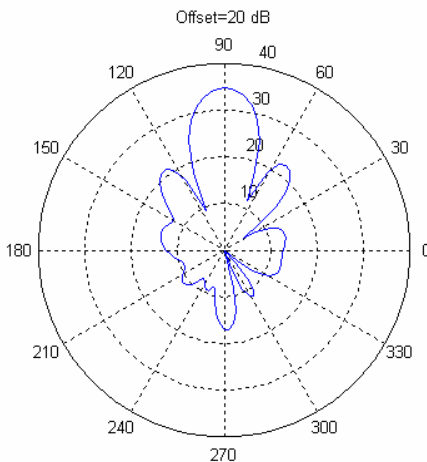
شکل(۱۲) امپدانس ورودی آرایه فوق را با در نظر گرفتن اثر تزویج متقابل بین المان ها بر اساس طرح تزویج ارائه شده در شکل(۷) نشان می دهد. در اینجا شبیه سازی تنها با استفاده از نرم افزار MATLAB انجام شده است. همانطور که از شکل مشاهده می شود، فرکانس رزونانس آرایه در ۱۱.۲GHz واقع شده است. با مقایسه این نمودار با نمودار شکل(۹) ملاحظه می شود که اثر تزویج بین المان ها سبب شیفت فرکانس رزونانس به مقدار بالاتر، افزایش پهنای باند و کاهش مقاومت اهمی



X

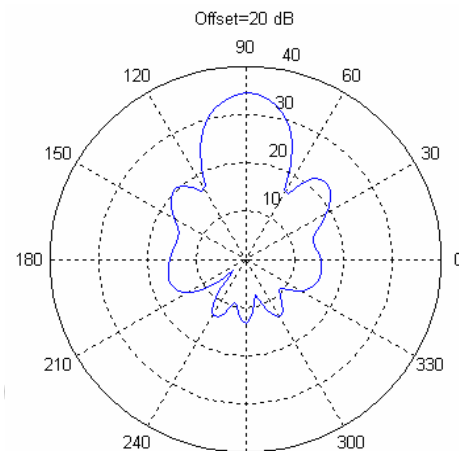


X



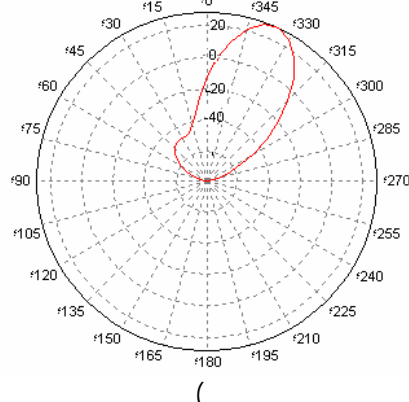
X

.....  
آرایه آنتن مذکور و شکل های (۱۵) تا (۱۷) به ترتیب نمودارهای تلف برگشتی، امپدانس ورودی و پترن تشعشعی اندازه گیری شده آرایه مذکور را نشان می دهد. همچنانکه در شکل (۱۵) ملاحظه می شود، تزویج متقابل سبب جابجائی فرکانس رزونانس به مقادیر بالاتر و افزایش تلف برگشتی شده است.



Far Field Gain vs Angle

Gain: Tot



X

MATLAB

.FEKO



X

یک آنتن پچ میکرواستریپ مستطیلی با استفاده از روش حل ممان معادله انتگرالی میدان الکتریکی بر اساس

وروودی و پترن تشعشعی برای آن در دو حالت با و بدون در نظر گرفتن اثر تزویج متقابل استخراج گردید. نتایج بدست آمده از نمودار ها نشان داد که تزویج متقابل علاوه بر ایجاد گلبرگ های فرعی در نمودار تشعشعی و افزایش سطح گلبرگ کناری سبب افزایش عرض باند و نیز جابجایی فرکانس روزنامس به مقادیر بالاتر می گردد. به منظور تائید نتایج شبیه سازی یک نمونه آرایه آنتن مذکور برای عملکرد در باند فرکانس X ساخته و تست گردید. تطابق نتایج شبیه سازی با نتایج اندازه گیری نشان داده که روش ارائه شده در این مقاله برای محاسبه تزویج متقابل از دقت مناسبی برخوردار است.

نویسنده‌گان لازم می‌دانند از مرکز تحقیقات مخابرات ایران که از این مقاله حمایت مالی نموده است قدردانی نمایند.

تولیع پایه RWG تحلیل و برای عملکرد در باند فرکانسی X طراحی و باستفاده از روش مذکور و توسط نرم افزار MATLAB شبیه سازی شد. به منظور اطمینان از صحت طراحی و روش تحلیل، نتایج حاصل از شبیه سازی توسط نرم افزار FEKO برای مقایسه ذکر گردید. پس از آن با مروری مختصر بر آرایه های میکرواستریپ، تزویج متقابل و اثرات آن بر پارامتر های مختلف آنتن به ویژه نمودار تشعشعی به تفصیل مورد بحث و بررسی قرار گرفت. یک روش محاسبه پترن که در این مقاله "روش پترن المان فعل مبتنی بر المان های لبه RWG" نامیده شد، بیان و روابط حاکم بر آن استخراج گردید. همچنین امپدانس متقابل به عنوان یک پارامتر مهم دیگر توصیف کننده رفتار تزویج متقابل، با استفاده از مدل المان های لبه RWG محاسبه شد. سپس با استفاده از روابط بدست آمده برای نمودار تشعشعی و امپدانس متقابل، یک آرایه آنتن ۲x۲ شامل پچ های مستطیلی توسط نرم افزار MATLAB شبیه سازی و نتایج تلف برگشتی، امپدانس

- 1 - Stutzman, W. L. and Thiele, G. A. (1981). *Antenna Theory and Design*, John Wiley, New York.
- 2 - Kelley, D. F. and Stutzman, W. L. (1993). "Array antenna pattern modeling methods that include mutual coupling effects." *IEEE Trans. on Antennas and Propagation*, Vol. 41, No. 12, PP. 1625-1632.
- 3 - Pan, Sh.G. and Wolff, I. (1992). "Computation of mutual coupling between slot-coupled microstrip patches in a finite array." *IEEE Trans. on Antennas and Propagation*, Vol. 40, No. 9, PP. 1047-1053.
- 4 - Fabrizio Sellone, and Alberto Serra, (2007). "A novel online mutual coupling compensation algorithm for uniform and linear arrays." *IEEE Trans. on Signal Processing*, Vol. 55, No. 2, PP. 560-573, No. 2.
- 5 - Steinberg, B. Z. and Leviatan, Y. (1993). "On the use of wavelet expansions in the method of moments." *IEEE Trans. on Antennas and Propagation*, Vol. 41, No. 5, PP. 610-619.
- 6 - Rao, S. M., Wilton, D. R. and Glisson, A. W. (1982). "Electromagnetic scattering by surfaces of arbitrary shape." *IEEE Trans. on Antennas and Propagation*, Vol. 30, PP. 409-418.
- 7 - Sergey.N.Makarov, (2002). *Antenna and EM Modeling With Matlab*, John Wiley, Inc. New York.
- 8 - Balanis, C.A. (1970). *Antenna Theory: Analysis and Design*, 2<sup>nd</sup> ed, John Wiley, New York.
- 9 - James, J. R., Hall, P. S. and Wood, C. (1981). *Microstrip Antennas: Theory and Design*, Peter Peregrinus, London.
- 10 - Kraus, J. D. (1992). *Electromagnetics*, 4<sup>th</sup> ed, Mc Graw hill, New York.
- 11 - Mailoux, R.J. (1994). *Phased Array Antenna Handbook*, Artech House, Boston, MA.